

تحلیل تیرها و قاب‌های یک و دو طبقه با طول دهانه برابر با استفاده از دنباله‌های بازگشته

سید محمد رضا حاجی‌مرحاذی^{*} (دانشجوی دکتری)

نادر فناوری (استادیار)

دانشکده‌ی مهندسی عمران، دانشگاه صنعتی خواجه نصیرالدین طوسی

قرن‌هast ریاضی دانان از دنباله‌های بازگشته و توابع مولده آنها برای حل برخی از مسائل در ریاضیات استفاده می‌کنند، ولی استفاده از این بخش زیبای ریاضیات در تحلیل سازه‌ها مهیجور مانده است. در این نوشتار، ابتدا برای یک تیر سراسری چنددهانه با طول برابر در حالت‌های انتهای مفصل، انتهای گیردار و انتهای گیردار غلتکی، که تحت اثر لنگر خمشی متمرکز در ابتدای تیر قرار گرفته‌اند، ضابطه‌ی لنگر تکیه‌گاه‌ها به دست آمده و لنگر آن محاسبه شده است. سپس به منظور نشان دادن کاربرد روش ارائه شده، قاب‌های یک و دو طبقه با طول دهانه‌ی برابر در نظر گرفته شده و با صرف نظر کردن از سختی محوری ستون‌ها، از فنرها پیچشی به جای ستون‌ها استفاده و مجدداً با استفاده از دنباله‌های بازگشته لنگرهای محل اتصال تیر و ستون محاسبه شده است.

واژگان کلیدی: رابطه‌ی بازگشته خطی، سختی دورانی، شرایط تکیه‌گاهی، ضربی انتقال لنگر.

nmohammad123@yahoo.com
fanaie@kntu.ac.ir

۱. مقدمه

در این نوشتار از دنباله‌های بازگشته به مزبوری روشنی نوآورانه در تحلیل سازه‌های خاص با بارگذاری لنگر متمرکز بر روی تکیه‌گاه ابتدایی استفاده شده است. با توجه به جستجوی مؤلفان این نوشتار، روش مذکور برای اولین بار در تحلیل سازه‌ها استفاده شده است. در ادامه مقدمه به صورت مختصر به مبانی ریاضی دنباله‌های بازگشته و استفاده خطی پرداخته شده است. سپس در قسمت‌های بعدی به کمک این مبانی و استفاده از روابط موجود در تحلیل سازه‌ها به تحلیل تیرهای سراسری برای دهانه‌ی برابر با شرایط تکیه‌گاهی انتها مختلف از قبیل: مفصلی، گیردار، گیردار غلتکی و قاب‌های دنباله‌ی لوكا:

$$\begin{aligned} F_n &= F_{n-1} + F_{n-2} \quad n \geq 2 \\ F_0 &= 0; \quad F_1 = 1 \\ 0, 1, 1, 2, 3, 5, 8, 13, \dots & \text{: دنباله} \end{aligned} \quad (2)$$

$$\begin{aligned} a_n &= a_{n-1} + a_{n-2} \quad n \geq 3 \\ a_0 &= 0; \quad a_1 = 1 \\ 0, 1, 2, 3, 4, 7, 11, 18, \dots & \text{: دنباله} \end{aligned} \quad (3)$$

در رابطه‌ی بازگشته ثابت در نظر گرفته شده‌اند، اگر a_1 و a_0 شرط‌های اولیه مفروض باشند، معادله‌ی $X^r = AX + B$ ، معادله‌ی مشخصه نامیده می‌شود. در صورتی که r, s ریشه‌های آن باشند، برای هر $n \geq 0$ خواهیم داشت:^[۱, ۲]

$$1. \text{ اگر } r \neq s, \text{ ثابت‌هایی چون } c \text{ و } d \text{ یافت می‌شوند، به صورتی که:}$$

$$a_n = cr^n + ds^n$$

$$2. \text{ اگر } r = s, \text{ ثابت‌هایی چون } c \text{ و } d \text{ یافت می‌شوند، به صورتی که:}$$

$$a_n = (c + dn)r^n$$

$$c_{n+k}a_{n+k} + c_{n+k-1}a_{n+k-1} + \dots + c_1a_1 = f_n \quad (1)$$

که در آن، $c_0 = 0$ ، $c_{n+k} \neq 0$ ، $c_n \neq 0$ ، c_i ها ضربی رابطه هستند و به n بستگی ندارند و a_n ، a_{n+k} ، a_{n+k-1} ، \dots ، a_1 امین جمله‌ی رابطه‌ی بازگشته است. منظور از حل یک رابطه‌ی بازگشته، پیدا کردن a_n به شکل فرمولی بر حسب n است. این تذکر لازم است که رابطه‌ی مذکور از درجه‌ی $k - n = k - n = k$ است. دنباله‌ی معروف فیبوناچی (رابطه‌ی

* نویسنده مسئول

تاریخ: دریافت ۲۵/۶/۱۳۹۲، اصلاحیه ۴، ۱۲/۱۲/۱۳۹۲، پذیرش ۱۸/۱۲/۱۳۹۲.

روابط ۷ الی ۹ به دست می‌آیند:

$$M_n + M_{n+1} = 4M_{n+1} \Rightarrow M_n = 4M_{n+1} - M_{n+2} \quad (7)$$

$$X^1 = 4X - 1 \Rightarrow X = 2 \pm \sqrt{3} \quad (8)$$

$$|M_n| = a_0 X_1^n + a_1 X_2^n \quad (9)$$

دو شرط اولیه موجود است یکی آنکه لنگر در تکیه‌گاه اول برابر است با M و دوم آینکه، لنگر در تکیه‌گاه انتهایی (تکیه‌گاه شماره‌ی K آم) برابر با صفر است.

$$\begin{cases} M_1 = a_0(2 + \sqrt{3}) + a_1(2 - \sqrt{3}) = M \\ M_K = a_0(2 + \sqrt{3})^K + a_1(2 - \sqrt{3})^K = 0 \end{cases} \quad (10)$$

در روابط مذکور، a_0 و a_1 مجهول هستند. با حل دستگاه دو معادله و دو مجهول در رابطه‌ی ۱۰، مقادیر مجهول به صورت (روابط ۱۱) محاسبه می‌شوند:

$$a_0 = \frac{-\left[\frac{2-\sqrt{3}}{2+\sqrt{3}}\right]^K M}{\left[(2-\sqrt{3}) - (2+\sqrt{3})\left[\frac{2-\sqrt{3}}{2+\sqrt{3}}\right]^K\right]} \quad (11)$$

$$a_1 = \frac{M}{\left[(2-\sqrt{3}) - (2+\sqrt{3})\left[\frac{2-\sqrt{3}}{2+\sqrt{3}}\right]^K\right]}$$

نهایتاً لنگر تکیه‌گاه n آم به صورت رابطه‌ی ۱۲ محاسبه می‌شود:

$$|M_n| = \frac{\left[-\left[\frac{2-\sqrt{3}}{2+\sqrt{3}}\right]^K (2 + \sqrt{3})^n + (2 - \sqrt{3})^n\right]^M}{\left[(2 - \sqrt{3}) - (2 + \sqrt{3})\left[\frac{2-\sqrt{3}}{2+\sqrt{3}}\right]^K\right]} \quad (12)$$

باید توجه کرد که به دلیل تغییر تقریب در هر دهانه‌ی تیر، علامت لنگر به صورت متواالی عوض می‌شود، از این رو رابطه‌ی ۱۳ را خواهیم داشت:

$$M_n = (-1)^{n+1} \frac{\left[-\left[\frac{2-\sqrt{3}}{2+\sqrt{3}}\right]^K (2 + \sqrt{3})^n + (2 - \sqrt{3})^n\right]^M}{\left[(2 - \sqrt{3}) - (2 + \sqrt{3})\left[\frac{2-\sqrt{3}}{2+\sqrt{3}}\right]^K\right]} \quad (13)$$

نتایج به دست آمده برای یک تیر ۹ دهانه با استفاده از فرمول ۱۳ در جدول ۱ ارائه شده است. همچنین با در نظر گرفتن مقطع IPE ۲۴۵ برای این تیر ۹ دهانه با فرض طول دهانه‌ی ۱۰ متر، نتایج به دست آمده با استفاده از نرم افزار SAP ۲۰۰۰ در جدول ۲ نمایش داده شده است. خطاهای نسبی در محاسبه بین رابطه‌ی بازنگشته و نتایج نرم افزار نیز در جدول ۳ ارائه شده است.

$|M_n|$ در n ثابت برای K سعودی است. برای اثبات این موضوع، بازنویسی می‌شود:

$$|M_n| = \frac{-S(2 + \sqrt{3})^n + (2 - \sqrt{3})^n}{(2 - \sqrt{3}) - (2 + \sqrt{3})S} M \quad (14)$$

از این قضیه‌ی ریاضی برای اثبات استفاده می‌شود: اگر تابع F با تعریف $F(n) = a_n$ برای $1 \leq x$ یکنوا باشد، (x یک متغیر حقیقی است)، آن‌گاه دنباله‌ی $\{a_n\}$ نیز یکنواست.

۲. تحلیل تیرهای سراسری با دهانه‌ی برابر، با استفاده از دنباله‌های بازنگشته

در این قسمت با استفاده از دنباله‌های بازنگشته لنگر تکیه‌گاه‌های مختلف برای یک تیر سراسری چنددهانه، که تحت اثر لنگر خمشی متمرکز در روی تکیه‌گاه اول خود قرار گرفته است، محاسبه شده است. برای این منظور ۲ حالت در نظر گرفته شده است.

الف) حالت انتهای مفصل

مطابق شکل ۱، تیری با K دهانه با طول دهانه‌های برابر در نظر گرفته شده است. هدف، محاسبه سهم لنگر هر تکیه‌گاه از لنگر متمرکز در این داده است. قرارداده شده است.

در علم تحلیل سازه نشان داده می‌شود که سختی خمشی یک تیر دو سر مفصل مطابق شکل ۲، ناشی از یک لنگر متمرکز در محل تکیه‌گاه آن برابر با $\frac{EI}{L}$ و همچنین تحت اثر لنگر متمرکز در تکیه‌گاه، چرخش گرده دور نصف چرخش گرده نزدیک است (رابطه‌ی ۴):

$$\theta_A = \frac{ML}{3EI} \quad \theta_B = \frac{1}{2} \times \frac{ML}{3EI} \quad (4)$$

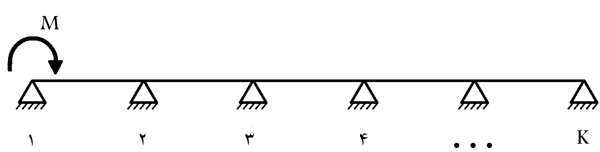
اینک معادله‌ی سازگاری در گره شماره‌ی $n+1$ که همان برابری چرخش در سمت چپ و راست گره مذکور است، بررسی می‌شود (رابطه‌ی ۵):

$$(\theta_{n+1})_L = (\theta_{n+1})_R \quad (5)$$

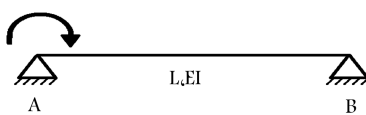
شکل ۳، تکیک دهانه‌ی شماره‌ی n و دهانه‌ی شماره‌ی $n+1$ (مطابق رابطه‌ی ۶) از شکل ۲ را نمایش می‌دهد:

$$\frac{1}{2} \times \frac{M_n L}{3EI} - \frac{M_{n+1} L}{3EI} = \frac{M_{n+1} L}{3EI} - \frac{1}{2} \frac{M_{n+2} L}{3EI} \quad (6)$$

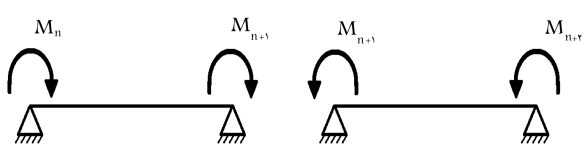
پس از ساده کردن رابطه‌ی ۶ و در نظر داشتن معادله مشخصه دنباله بازنگشته مذکور



شکل ۱. تیر سراسری با انتهای مفصلی تحت اثر لنگر خمشی متمرکز.



شکل ۲. تیر دو مفصل تحت اثر لنگر خمشی متمرکز.



شکل ۳. دهانه‌های شماره‌ی n و $n+1$ و لنگرهای آنها.

از این رو رابطه‌ی ۱۶ نتیجه گرفته می‌شود:

$$\frac{d|M_n|}{dk} = \frac{d|M_n|}{ds} \times \frac{ds}{dk} > 0 \quad (16)$$

در نتیجه برای افزایش سهم لنگر تکیه‌گاه شماره‌ی n باید تعداد کل تکیه‌گاه‌ها را افزایش داد. در حالتی که K به سمت بی‌نهایت برود، سهم لنگر تکیه‌گاه شماره‌ی n مطابق رابطه‌ی ۱۷ است:

$$\lim_{k \rightarrow \infty} [M_n] = (2 - \sqrt{3})^{n-1} M \quad (17)$$

در نتیجه بیشینه‌ی لنگری که می‌تواند در تکیه‌گاه شماره‌ی n ایجاد شود، برابر است با $(2 - \sqrt{3})^{n-1} M$. کمینه‌ی مقدار لنگر زمانی اتفاق می‌افتد که $K = n$ باشد و در این حالت M_n برابر صفر می‌شود. حال اگر از مقدار کمینه‌ی صفر صرف نظر شود و از تکیه‌گاه شماره‌ی $1 - K$ برای به دست آوردن کمینه‌ی لنگر استفاده شود، روابط ۱۸ را خواهیم داشت:

$$|M_{K-1}| = \frac{\left[-\left[\frac{2-\sqrt{3}}{2+\sqrt{3}} \right]^{n+1} (2 + \sqrt{3})^n + (2 - \sqrt{3})^n \right] M}{\left[(2 - \sqrt{3}) - (2 + \sqrt{3}) \left[\frac{2-\sqrt{3}}{2+\sqrt{3}} \right]^{n+1} \right]} \quad (K = n + 1)$$

$$|M_{K-1}| = \frac{\frac{2-\sqrt{3}}{2+\sqrt{3}} (2 - \sqrt{3})^{n-1}}{1 - \left(\frac{2-\sqrt{3}}{2+\sqrt{3}} \right)^n} M \quad (18)$$

که در آن K تعداد تکیه‌گاه و n شماره‌ی دهانه است.

اگر $\bar{K} = \frac{2-\sqrt{3}}{1 - \left(\frac{2-\sqrt{3}}{2+\sqrt{3}} \right)^n}$ نامیده شود، آنگاه رابطه‌ی ۱۹ نتیجه گرفته می‌شود:

$$|M_{K-1}| = \bar{K} (2 - \sqrt{3})^{n-1} M \quad (19)$$

بک تابع نزولی است که مقدار کمینه‌ی آن برابر است با: $0,9282 \approx 0,9282$
با توجه به توضیحات داده شده نتیجه می‌شود به جز حالتی که $n = K$ است، حدود لنگر تکیه‌گاه n ام به صورت روابط ۲۰ است:

$$\frac{2\sqrt{3}}{2+\sqrt{3}} (2 - \sqrt{3})^{n-1} M < [M_n] < (2 - \sqrt{3})^{n-1} M$$

$$\bar{K}_1 = 1, \quad \bar{K}_2 = 0,9230, \quad \bar{K}_3 = 0,9285, \quad \bar{K}_4 = 0,9282$$

$$\lim_{n \rightarrow \infty} \bar{K} = \frac{2\sqrt{3}}{2+\sqrt{3}} = 0,928203 \quad (20)$$

ب) حالت انتهای گیردار

در این حالت تکیه‌گاه شماره‌ی K گیردار شده و معادلات به دست آمده بر این اساس به صورت رابطه‌ی ۲۱ بررسی شده است:

$$|M_n| = b_0 X_1^n + b_1 X_2^n \quad (21)$$

اینکه مقدار لنگر که در تکیه‌گاه اول برابر M است، به عنوان شرط اول همچنان برقرار است؛ ولی شرط دوم دیگر برقرار نیست و باید برای این حالت شرط ثانویه‌ی دیگری پیدا کرد. در تحلیل سازه، ضریب انتقال لنگر (نسبت لنگر انتقال با فتحه به لنگر اعمال شده با رعایت جهت: C.O.F.) در تیر شکل ۴ برابر با $\frac{1}{3}$ است. با توجه

جدول ۱. لنگرهای تکیه‌گاهی بک تیر ۹ دهانه با انتهای مفصلی محاسبه شده توسط روابط بازگشتی.

M	M_1
$0,2679491923 M$	M_2
$-0,7179676902 M$	M_3
$0,1923788388 M$	M_4
$-0,154766309 \times 10^{-2} M$	M_5
$1,381181403 \times 10^{-3} M$	M_6
$-3,699593045 \times 10^{-4} M$	M_7
$4,865581453 \times 10^{-5} M$	M_8
$-2,466395363 \times 10^{-5} M$	M_9
...	M_{10}

جدول ۲. لنگرهای تکیه‌گاهی بک تیر ۹ دهانه با انتهای مفصلی محاسبه شده با نرم افزار SAP ۲۰۰۰.

M	M_1
$0,26606217 M$	M_2
$-0,70788908 M$	M_3
$0,18834229 M$	M_4
$-0,1108 \times 10^{-2} M$	M_5
$1,322223 \times 10^{-3} M$	M_6
$-3,456 \times 10^{-4} M$	M_7
$9,391 \times 10^{-5} M$	M_8
$-2,333 \times 10^{-5} M$	M_9
...	M_{10}

جدول ۳. خطاهای نسبی محاسبه لنگرهای تکیه‌گاهی برای تیر ۹ دهانه با انتهای مفصلی.

$\%3,6$	M_5	$\%0$	M_1
$\%4,4$	M_7	$\%0,7$	M_2
$\%5,0$	M_8	$\%1,4$	M_3
$\%6$	M_9	$\%2,14$	M_4
$\%$	M_{10}	$\%2,86$	M_5

$$\begin{aligned} \frac{d|M_n|}{dS} &= \frac{-(2 + \sqrt{3})^n (2 - \sqrt{3}) + (2 - \sqrt{3})^n (2 + \sqrt{3})}{((2 - \sqrt{3}) - (2 + \sqrt{3})S)} M \\ &= \frac{(2 - \sqrt{3})^{n-1} - (2 + \sqrt{3})^{n-1}}{((2 - \sqrt{3}) - (2 + \sqrt{3})S)} M < 0. \\ \frac{dS}{dk} &= \ln \left[\frac{2 - \sqrt{3}}{2 + \sqrt{3}} \right] \times \left[\frac{2 - \sqrt{3}}{2 + \sqrt{3}} \right]^K < 0. \end{aligned} \quad (20)$$

تابعی صعودی است که حد بالای آن \overline{K} و مقدار کمینه‌ی آن برابر ۱ است:

$$\begin{aligned} \overline{K}_1 &= 1, \quad \overline{K}_2 = 1,866, \quad \overline{K}_3 = 1,9897 \\ (2 - \sqrt{3})^{n-1} M &< |M_n| < \overline{K}(2 - \sqrt{3})^{n-1} M \\ (2 - \sqrt{3})^{n-1} M &< |M_n| < 2(2 - \sqrt{3})^{n-1} M \end{aligned} \quad (29)$$

روابط به دست آمده برای حالت انتهای مفصل و انتها گیردار را می‌توان به صورت دیگر و با نحوی ساده‌تر بیان کرد. در ادامه نشان داده است که در تیرهای سراسری با تعداد دهانه‌ی زیاد، تأثیر شرایط تکیه‌گاهی انتهایی فقط در نزدیکی همان تکیه‌گاه هاست. در این قسمت، مقادیر لنجرهای تکیه‌گاهی در نزدیکی تکیه‌گاه انتهایی به شکل دیگری بررسی شده است:

— حالت انتهای مفصل (رابطه‌ی ۳۰):

$$|M_n| = \frac{\left[-\left[\frac{r-\sqrt{r}}{r+\sqrt{r}} \right]^K (2 + \sqrt{3})^n + (2 - \sqrt{3})^n \right] M}{\left[(2 - \sqrt{3}) - (2 + \sqrt{3}) \left[\frac{r-\sqrt{r}}{r+\sqrt{r}} \right]^K \right]} \quad (30)$$

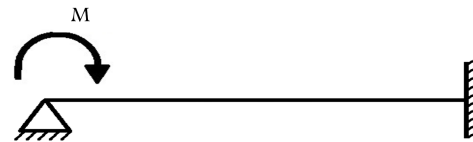
اگر به جای n مقدار $Z - K$ قرار داده شود (که در آن Z شماره‌ی تکیه‌گاه از انتهای است)، روابط ۳۱ نتیجه گرفته خواهد شد:

$$\begin{aligned} |M_n| &= \frac{\left(-\frac{(r-\sqrt{r})^K}{(r+\sqrt{r})^Z} + \frac{(r-\sqrt{r})^K}{(r-\sqrt{r})^Z} \right) M}{(2 - \sqrt{3})(1 - \left[\frac{r-\sqrt{r}}{r+\sqrt{r}} \right]^{K-1})} \\ &= \frac{\left((2 - \sqrt{3})^{(K-1)} (2 + \sqrt{3})^Z - (2 - \sqrt{3})^Z \right) M}{\frac{(r+\sqrt{r})^{K-1} - (r-\sqrt{r})^{K-1}}{(r+\sqrt{r})^{K-1}}} \\ &= \frac{(2 + \sqrt{3})^Z - (2 - \sqrt{3})^Z}{(2 + \sqrt{3})^{K-1} - (2 - \sqrt{3})^{K-1}} M \end{aligned} \quad (31)$$

حال اگر $|M_n|$ را برابر $(2 - \sqrt{3})^{n-1} M$ تقسیم کنیم، روابط ۳۲ نتیجه گرفته می‌شود:

$$\begin{aligned} \frac{|M_n|}{(2 - \sqrt{3})^{n-1} M} &= \frac{\frac{(r+\sqrt{r})^Z - (r-\sqrt{r})^Z}{(r+\sqrt{r})^{K-1} - (r-\sqrt{r})^{K-1}}}{(2 - \sqrt{3})^{K-Z-1}} \\ &= \frac{(2 + \sqrt{3})^Z - (2 - \sqrt{3})^Z}{(2 + \sqrt{3})^{K-1} - (2 - \sqrt{3})^{K-1}} \cdot \frac{(2 - \sqrt{3})^Z}{(2 - \sqrt{3})^{K-1}} \\ &= \frac{1 - (2 - \sqrt{3})^Z}{1 - (2 - \sqrt{3})^{(K-1)}} = 1 - (2 - \sqrt{3})^Z \end{aligned}$$

$$= \begin{cases} (Z = 0) & 0 \\ (Z = 1) & 0,2820 \cong 0,93 \\ (Z = 2) & 0,99484 \cong 0,995 \\ (Z = 3) & 0,99962 \cong 1 \\ (Z = 4) & 0,999973 \cong 1 \\ (Z = K - 1) & 1 \end{cases} \quad (32)$$



شکل ۴. تیر یک سر مفصل یک سر گیردار.

به توضیحات ارائه شده، شرط ثانویه‌ی ۲۲ به دست می‌آید:

$$\begin{cases} M_1 = b_1(2 + \sqrt{3}) + b_2(2 - \sqrt{3}) = M \\ \frac{M_K}{M_{K-1}} = \frac{b_1(2 + \sqrt{3})^K + b_2(2 - \sqrt{3})^K}{b_1(2 + \sqrt{3})^{K-1} + b_2(2 - \sqrt{3})^{K-1}} = \frac{1}{r} \end{cases} \quad (22)$$

در روابط مذکور فقط مقادیر b_1 و b_2 مجهول است. با حل دستگاه دو معادله و دو مجهول در رابطه‌ی ۲۲، مقادیر مجهول به این صورت محاسبه می‌شود (روابط ۲۳):

$$\begin{aligned} b_1 &= \frac{M}{(2 + \sqrt{3}) + \left[\frac{r+\sqrt{r}}{r-\sqrt{r}} \right]^K (2 - \sqrt{3})} \\ b_2 &= \frac{\left[\frac{r+\sqrt{r}}{r-\sqrt{r}} \right]^K M}{(2 + \sqrt{3}) + \left[\frac{r+\sqrt{r}}{r-\sqrt{r}} \right]^K (2 - \sqrt{3})} \end{aligned} \quad (23)$$

در نتیجه مقدار لنگر تکیه‌گاه آم به صورت رابطه‌ی ۲۴ به دست می‌آید:

$$|M_n| = \frac{\left[(2 + \sqrt{3})^n + \left[\frac{r+\sqrt{r}}{r-\sqrt{r}} \right]^K (2 - \sqrt{3})^n \right] M}{(2 + \sqrt{3}) + \left[\frac{r+\sqrt{r}}{r-\sqrt{r}} \right]^K (2 - \sqrt{3})} \quad (24)$$

باید توجه کرد که به دلیل عوض شدن جهت تقریر در دهانه‌های مجاور، علامت لنگر به صورت متواالی عوض می‌شود. از این رو M_n مطابق رابطه‌ی ۲۵ خواهد بود:

$$M_n = (-1)^{n+1} \frac{\left[(2 + \sqrt{3})^n + \left[\frac{r+\sqrt{r}}{r-\sqrt{r}} \right]^K (2 - \sqrt{3})^n \right] M}{(2 + \sqrt{3}) + \left[\frac{r+\sqrt{r}}{r-\sqrt{r}} \right]^K (2 - \sqrt{3})} \quad (25)$$

با روش مشابه اثبات ذکرشده می‌توان ثابت کرد که برخلاف حالت الف برای n ثابت، با افزایش K نزولی است و در نتیجه کمینه‌ی لنگری که به تکیه‌گاه شماره‌ی آم می‌رسد، مربوط به حالتی است که K به سمت بی‌نهایت برود (رابطه‌ی ۲۶):

$$\lim_{K \rightarrow \infty} |M_n| = (2 - \sqrt{3})^{n-1} M \quad (26)$$

یعنی لنگر $|M_n|$ هنگامی اتفاق می‌افتد که $n = K$ باشد (رابطه‌ی ۲۷):

$$\begin{aligned} |M_{n=K}| &= \frac{2(2 + \sqrt{3})^n}{(2 + \sqrt{3}) + \left[\frac{r+\sqrt{r}}{r-\sqrt{r}} \right]^n (2 - \sqrt{3})} M \\ &= \frac{2(2 + \sqrt{3})^{n-1}}{(1 + \left[\frac{r+\sqrt{r}}{r-\sqrt{r}} \right]^{n-1})} M = \frac{2(2 - \sqrt{3})^{n-1}}{(1 + \left[\frac{r-\sqrt{r}}{r+\sqrt{r}} \right]^{n-1})} M \end{aligned} \quad (27)$$

اگر \overline{K} نامیده شود، رابطه‌ی ۲۸ نتیجه گرفته خواهد شد:

$$|M_{n=K}| = \overline{K}(2 - \sqrt{3})^{n-1} M \quad (28)$$

این تذکر لازم است که برای محاسبه‌ی لنگر تکیه‌گاه گیردار از ضریب انتقال لنگر تیر شکل ۴ استفاده شده است.

در نتیجه، این حل تقریبی با دقت بسیار بالا برای یک تیر سراسری با انتهای مفصلی قابل ارائه است (روابط ۳۳):

$$|M_n| = \begin{cases} 1 < n < K - 2 & (2 - \sqrt{3})^{n-1} |M_n| \\ n = K - 2 & 0,995(2 - \sqrt{3})^{n-1} |M_n| \\ n = K - 1 & 0,93(2 - \sqrt{3})^{n-1} |M_n| \\ n = K & 0 \end{cases} \quad (33)$$

حالات انتهای گیردار (روابط ۳۴):

$$\begin{aligned} |M_n| &= \frac{\left[(2 + \sqrt{3})^n + \left[\frac{1+\sqrt{3}}{1-\sqrt{3}} \right]^K (2 - \sqrt{3})^n \right]}{(2 + \sqrt{3}) + \left[\frac{1+\sqrt{3}}{1-\sqrt{3}} \right]^K (2 - \sqrt{3})} M \\ |M_n| &= \frac{\left(\frac{(1+\sqrt{3})^K}{(1+\sqrt{3})^Z} + \frac{(1-\sqrt{3})^K}{(1-\sqrt{3})^Z} \right)}{(2 + \sqrt{3}) \left(1 + \left[\frac{1+\sqrt{3}}{1-\sqrt{3}} \right]^{K-1} \right)} M \\ \Rightarrow |M_n| &= \frac{\left((2 + \sqrt{3})^{(K-1)} \left((2 + \sqrt{3})^Z + (2 - \sqrt{3})^Z \right) \right)}{\frac{(1+\sqrt{3})^{K-1} + (1-\sqrt{3})^{K-1}}{(1-\sqrt{3})^{K-1}}} M \\ &= \frac{(2 + \sqrt{3})^Z + (2 - \sqrt{3})^Z}{(2 + \sqrt{3})^{K-1} + (2 - \sqrt{3})^{K-1}} M \end{aligned} \quad (34)$$

حال اگر $|M_n|$ را بر $(2 - \sqrt{3})^{K-Z-1} M$ تقسیم کنیم، روابط ۳۵ نتیجه گرفته می‌شود:

$$\begin{aligned} \frac{|M_n|}{(2 - \sqrt{3})^{K-Z-1} M} &= \frac{\frac{(1+\sqrt{3})^Z + (1-\sqrt{3})^Z}{(1+\sqrt{3})^{K-1} + (1-\sqrt{3})^{K-1}}}{(2 - \sqrt{3})^{K-Z-1}} M \\ &= \frac{(2 + \sqrt{3})^Z + (2 - \sqrt{3})^Z}{(2 + \sqrt{3})^{K-1} + (2 - \sqrt{3})^{K-1}} \times \frac{(2 - \sqrt{3})^Z}{(2 - \sqrt{3})^{K-1}} \\ &= \frac{1 + (2 - \sqrt{3})^Z}{1 + (2 - \sqrt{3})^{Z(K-1)}} = 1 + (2 - \sqrt{3})^Z \\ &= \begin{cases} (Z = 1) & 1,09179 \cong 1,07 \\ (Z = 2) & 1,0015 \cong 1,005 \\ (Z = 3) & 1,00037 \cong 1 \\ (Z = 4) & 1,000026 \cong 1 \\ (Z = K-1) & 1 \end{cases} \end{aligned} \quad (35)$$

در نتیجه این حل تقریبی با دقت بسیار بالا برای یک تیر سراسری با انتهای گیردار قابل ارائه است (روابط ۳۶):

$$|M_n| = \begin{cases} 1 < n < K - 2 & (2 - \sqrt{3})^{n-1} |M_n| \\ n = K - 2 & 1,005(2 - \sqrt{3})^{n-1} |M_n| \\ n = K - 1 & 1,072(2 - \sqrt{3})^{n-1} |M_n| \\ n = K & \frac{0,5 \times 1,07}{(2 - \sqrt{3})} (2 - \sqrt{3})^{n-1} |M_n| = 2(2 - \sqrt{3})^{n-1} (\bar{K} = 2) |M_n| \end{cases} \quad (36)$$

۳. محاسبه‌ی سختی دورانی تیرهای سراسری با دهانه‌های برابر

در ادامه، سختی دورانی تیر سراسری با دهانه‌های برابر در ۳ حالت انتهای مفصل، انتهای گیردار و انتهای گیردار غلتکی محاسبه شده است.

۱.۳. حالت انتهای مفصل

تیری با $1 - K$ دهانه با طول دهانه‌های برابر مطابق شکل ۱ در نظر گرفته شده است. هدف، محاسبه‌ی سختی دورانی (K_θ) این تیر در ابتدای آن است (روابط ۳۷):

$$\begin{aligned} \theta_1 &= \frac{M}{K_1}, \quad \theta_1 = \frac{|M_1| L}{3EI} - \frac{|M_1| L}{8EI} \\ \theta_1 &= \frac{L}{3EI} \left(M - \frac{M_1}{2} \right) \\ \theta_1 &= \left[\frac{ML}{3EI} \left(1 - \left[- \left[\frac{1-\sqrt{3}}{1+\sqrt{3}} \right]^K (2 + \sqrt{3})^1 + (2 - \sqrt{3})^1 \right] \right) \right. \\ &\quad \left. - \frac{2 \left[(2 - \sqrt{3}) - (2 + \sqrt{3}) \left[\frac{1-\sqrt{3}}{1+\sqrt{3}} \right]^K \right]}{(2 - \sqrt{3}) - (2 + \sqrt{3}) \left[\frac{1-\sqrt{3}}{1+\sqrt{3}} \right]^K} \right] \\ &= \frac{ML}{3EI} \\ &= \left[\frac{\left[\frac{1-\sqrt{3}}{1+\sqrt{3}} \right]^K ((2 + \sqrt{3})^1 - 2(2 + \sqrt{3})) - (2 - \sqrt{3})^1 + 2(2 - \sqrt{3}) \right] \\ &\quad \left[- \frac{2 \left[(2 - \sqrt{3}) - (2 + \sqrt{3}) \left[\frac{1-\sqrt{3}}{1+\sqrt{3}} \right]^K \right]}{(2 - \sqrt{3}) - (2 + \sqrt{3}) \left[\frac{1-\sqrt{3}}{1+\sqrt{3}} \right]^K} \right] \\ &= \frac{ML}{3EI} \left[\frac{\sqrt{3} \left[\left[\frac{1-\sqrt{3}}{1+\sqrt{3}} \right]^K (2 + \sqrt{3}) + (2 - \sqrt{3}) \right]}{2 \left[(2 - \sqrt{3}) - (2 + \sqrt{3}) \left[\frac{1-\sqrt{3}}{1+\sqrt{3}} \right]^K \right]} \right] \\ &= \frac{ML}{EI} \times \frac{\sqrt{3}}{6} \times \frac{\left[1 + \left[\frac{1-\sqrt{3}}{1+\sqrt{3}} \right]^{K-1} \right]}{\left[1 - \left[\frac{1-\sqrt{3}}{1+\sqrt{3}} \right]^{K-1} \right] (2 - \sqrt{3})} \\ K_\theta &= \frac{6EI}{\sqrt{3}L} \frac{\left[1 - \left[\frac{1-\sqrt{3}}{1+\sqrt{3}} \right]^{K-1} \right]}{\left[1 + \left[\frac{1-\sqrt{3}}{1+\sqrt{3}} \right]^{K-1} \right]} \end{aligned}$$

$$K_1 = \frac{3EI}{L}, \quad K_2 = 3,4285 \frac{EI}{L}, \quad K_3 = 3,4615 \frac{EI}{L}$$

$$K_4 = 3,4639 \frac{EI}{L}$$

$$K_\infty = \frac{6}{\sqrt{3}} \frac{EI}{L} = 3,4641 \frac{EI}{L} \quad (37)$$

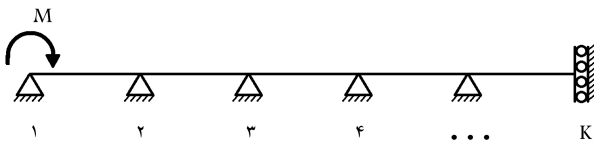
مشابه روش تقریبی قسمت پیشین نیز می‌توان با دقت بسیار بالای این سختی‌ها را محاسبه کرد (رابطه‌ی ۳۸). این مقادیر در جدول ۴ ارائه شده است:

$$\theta = \frac{L}{3EI} \left(1 - \frac{\bar{K}(2 - \sqrt{3})}{2} \right) \quad (38)$$

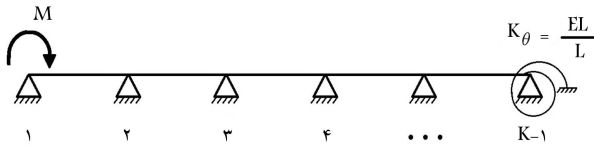
اعداد بدست آمده دقت بسیار بالای این روش تقریبی را نشان می‌دهد.

جدول ۴. محاسبه‌ی سختی تیر با انتهای مفصلی توسط روش تقریبی.

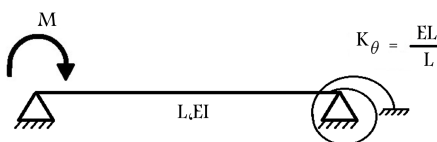
تعداد دهانه	\bar{K}	سختی دورانی
۲	۰,۹۳	$۳,۴۶۷ \frac{EI}{L}$
۳	۰,۹۹۵	$۳,۴۶۱ \frac{EI}{L}$
۴	۱	$۳,۴۶۴ \frac{EI}{L}$



شکل ۵. تیر سراسری با انتهای گیردار غلتکی تحت اثر لنگر خمشی متتمرکز.



شکل ۶. تیر سراسری با انتهای گیردار غلتکی معادل شده.



شکل ۷. دهانه‌ی انتهایی تیر سراسری

۳.۳. حالت انتهایی گیردار غلتکی

در ادامه، نتایج بدست آمده برای تیر سراسری با انتهای گیردار غلتکی ارائه شده است (شکل ۵). در این حالت تکیه‌گاه شماره‌ی K ، گیردار غلتکی شده و معادلات به دست آمده براین اساس بررسی شده است (رابطه ۴۱):

$$|M_n| = c_0 X_1^n + c_1 X_2^n \quad (41)$$

این که لنگر تکیه‌گاه ابتدایی همان M است، به عنوان شرط اول برقرار است؛ ولی دیگر شرط دوم برقرار نیست و باید برای این حالت شرط ثانویه‌ی دیگری پیدا کرد.

برای پیدا کردن شرط ثانویه‌ی جدید دیگر نمی‌توان از ضریب انتقال لنگر تیر انتهایی گیردار غلتکی استفاده کرد، چون تیر در محل تکیه‌گاه گیردار غلتکی، یک درجه آزادی انتقالی داشته است؛ ولی در سایر تکیه‌گاه‌های تیر، درجه آزادی انتقالی و شرایط تشابهی وجود نداشته است، به همین دلیل تیر سراسری با انتهای گیردار غلتکی به صورت تیر شکل ۶ مدل شده است. همچنین از ضریب انتقال لنگر تیر شکل ۷ به عنوان شرط ثانویه استفاده شده است.

آن حالت معادل این است که یک تکیه‌گاه جدید با ضریب انتقال لنگر $\frac{1}{\lambda}$ در انتهای وجود داشته باشد (منتظر از انتهای، تکیه‌گاه ماقبل آخر است). با توجه به توضیحات داده شده می‌توان شرط ثانویه را به دست آورد (رابطه ۴۲):

$$\begin{cases} M_1 = c_0 (2 + \sqrt{3}) + c_1 (2 - \sqrt{3}) = M \\ \frac{M_{K-1}}{M_{K-2}} = \frac{c_0 (2 + \sqrt{3})^{K-1} + c_1 (2 - \sqrt{3})^{K-1}}{c_0 (2 + \sqrt{3})^{K-2} + c_1 (2 - \sqrt{3})^{K-2}} = \frac{1}{\lambda} \end{cases} \quad (42)$$

در روابط ۴۲ فقط c_0 و c_1 مجهول است. با حل دستگاه دو معادله و دو مجهول مذکور مقادیر مجهول به صورت روابط ۴۳ محاسبه می‌شود:

$$|M_n| = \frac{\left[(2 + \sqrt{3})^n + \left(\frac{15+8\sqrt{3}}{8\sqrt{3}-15} \right) \left[\frac{2+\sqrt{3}}{2-\sqrt{3}} \right]^{K-2} (2 - \sqrt{3})^n \right]}{(2 + \sqrt{3}) + \left(\frac{15+8\sqrt{3}}{8\sqrt{3}-15} \right) \left[\frac{2+\sqrt{3}}{2-\sqrt{3}} \right]^{K-2} (2 - \sqrt{3})} M \quad (43)$$

۲.۲. حالت انتهایی گیردار

مراحل همانند قسمت قبل نمایش داده می‌شود (روابط ۳۹):

$$\begin{aligned} \theta_1 &= \frac{L}{3EI} (M - \frac{M_1}{\lambda}) \\ &= \frac{L}{3EI} \left[M(1 - \frac{\left[\frac{2+\sqrt{3}}{2-\sqrt{3}} \right]^K (2 - \sqrt{3})^2 + (2 + \sqrt{3})^2}{\lambda ((2 + \sqrt{3}) - (2 - \sqrt{3}) \left[\frac{2+\sqrt{3}}{2-\sqrt{3}} \right]^K)} \right] \\ &= \frac{ML}{3EI} \left[\frac{\left[\frac{2+\sqrt{3}}{2-\sqrt{3}} \right]^K (2 - \sqrt{3}) \sqrt{3} - (2 - \sqrt{3})^2 - (2 + \sqrt{3}) \sqrt{3}}{2 \left[(2 + \sqrt{3}) + (2 - \sqrt{3}) \left[\frac{2+\sqrt{3}}{2-\sqrt{3}} \right]^K \right]} \right] \\ &= \frac{ML}{EI} \times \frac{\sqrt{3}}{6} \times \frac{\left[\frac{2+\sqrt{3}}{2-\sqrt{3}} \right]^{K-1} - 1}{\left[\frac{2+\sqrt{3}}{2-\sqrt{3}} \right]^{K-1} + 1} (2 + \sqrt{3}) \\ K_\theta &= \frac{6EI}{\sqrt{3}L} \frac{\left[\frac{2+\sqrt{3}}{2-\sqrt{3}} \right]^{K-1} + 1}{\left[\frac{2+\sqrt{3}}{2-\sqrt{3}} \right]^{K-1} - 1}, \quad K_1 = \frac{4EI}{L} \\ K_2 &= ۳,۵ \frac{EI}{L}, \quad K_3 = ۳,۴۶۶ \frac{EI}{L}, \quad K_4 = ۳,۴۶۴ \frac{EI}{L} \\ K_\infty &= \frac{6}{\sqrt{3}} \frac{EI}{L} = ۳,۴۶۴ \frac{EI}{L} \end{aligned} \quad (39)$$

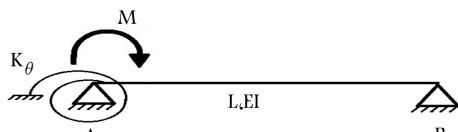
با روش تقریبی مانند قسمت قبل نیز می‌توان با دقت خیلی خوبی این سختی‌ها را محاسبه کرد (رابطه ۴۰). این مقادیر در جدول ۵ نمایش داده شده است:

$$\theta = \frac{L}{3EI} \left(1 - \frac{\bar{K}(2 - \sqrt{3})}{2} \right) \Rightarrow K_\theta = \frac{\frac{2EI}{L}}{\left(1 - \frac{\bar{K}(2 - \sqrt{3})}{2} \right)} \quad (40)$$

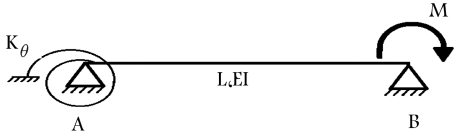
اعداد بدست آمده دقت بسیار بالای روش تقریبی را نشان می‌دهد. مشاهده می‌شود که بعد از ۳ دهانه، اضافه کردن دهانه‌ها تأثیر محسوسی در سختی دورانی تیر ندارد. این تذکر لازم است که برای سایر حالات شرایط انتهایی (گیردار غلتکی و...) می‌توان از ضریب انتقال لنگر قسمت انتهایی به عنوان شرط ثانویه‌ی معادلات با رگشنتری استفاده کرد.

جدول ۵. محاسبه‌ی سختی تیر با انتهای گیردار توسط روش تقریبی.

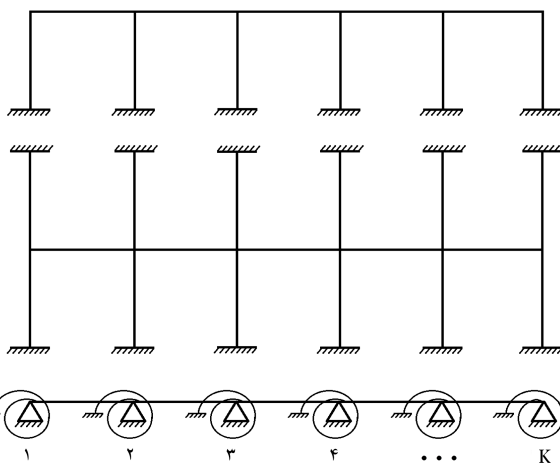
تعداد دهانه	\bar{K}	سختی دورانی
۲	۱,۰۷۲	$۳,۵۰۳ \frac{EI}{L}$
۳	۱,۰۰۵	$۳,۴۶۶ \frac{EI}{L}$
۴	۱	$۳,۴۶۴ \frac{EI}{L}$



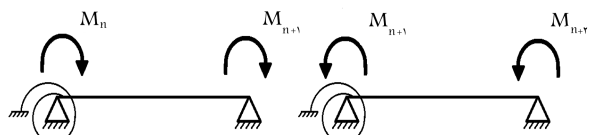
شکل ۸. تیر اول.



شکل ۹. تیر دوم.



شکل ۱۰. قاب های ۱ و ۲ طبقه با طول دهانه برابر (قاب جزء) و تیر معادل آنها.



شکل ۱۱. دهانه های شماره های n و n + ۱.

忿رهای پیچشی روی تیر سراسری مدل شده است (شکل ۱۰)، بدین صورت که از فنرهای پیچشی با سختی دورانی $\frac{EI}{L}$ استفاده شده است و البته برای اینکه بتوان از سختی $\frac{EI}{L}$ استفاده کرد، باید از تغییر مکان افقی سقف صرف نظر شود، که این فرض برای بارهای ثقلی متقاضی با دقت خوبی برقرار است. همچنین از تغییر شکل محوری ستون ها صرف نظر شده است.

اگر دهانه های شماره های n و n + ۱ را از تیر بالا جدا کنیم، و از سازگاری شب در گرهی شماره های n استفاده کنیم، مطابق شکل ۱۱ روابط ۴۸ را خواهیم داشت:

$$(\theta_{n+1})_L = (\theta_{n+1})_R$$

$$\frac{M_n}{2(K_\theta + \frac{\tau EI}{L})} - \frac{K_\theta + \frac{\tau EI}{L}}{K_\theta + \frac{\tau EI}{L}} \times \frac{M_{n+1}L}{4EI} = \frac{M_{n+1}}{K_\theta + \frac{\tau EI}{L}} - \frac{M_{n+1}}{2(K_\theta + \frac{\tau EI}{L})} \quad (48)$$

معادله های به دست آمده برای رسیدن به معادله های بازگشتی مرتب شده است (روابط ۴۹):

با اثبات مشابه اثبات پیشین می توان ثابت کرد که در این حالت برای n ثابت، برای K نزولی است. در نتیجه، کمینه ای لنگری که به تکیه گاه شماره های n ام می رسد، در حالتی است که K به سمت بی نهایت برود. با محاسبات مشابه برای حل تقریبی با دقت بسیار بالا برای یک تیر سراسری با انتهای گیردار غلتکی این نتایج قبل ارائه می شود (روابط ۴۴):

$$|M_n| = \begin{cases} 1 < n < K - 3 & (2 - \sqrt{3})^{n-1} |M_n| \\ n = K - 3 & 0,997(2 - \sqrt{3})^{n-1} |M_n| \\ n = K - 2 & 0,960(2 - \sqrt{3})^{n-1} |M_n| \\ n = K - 1 & 0,448(2 - \sqrt{3})^{n-1} |M_n| \\ n = K & 0,448(2 - \sqrt{3})^{n-1} |M_n| \\ & = 0,5 \times 1,07(2 - \sqrt{3})^{n-1} |M_n| \end{cases} \quad (44)$$

همچنین سختی دورانی را نیز می توان مطابق روابط ۴۵ محاسبه کرد:

$$\begin{aligned} K_1 &= \frac{EI}{L}, \quad K_2 = 2,2 \frac{EI}{L}, \quad K_3 = 3,4444 \frac{EI}{L} \\ K_5 &= 3,4626 \frac{EI}{L}, \quad K_6 = 3,446 \frac{EI}{L} \\ K_\infty &= \frac{6}{\sqrt{3}} = 3,4641 \frac{EI}{L} \end{aligned} \quad (45)$$

۴. تحلیل قاب های یک طبقه با طول دهانه برابر با استفاده از دنباله های بازگشتی

در قسمت پیشین، تحلیل تیرهای سراسری با طول دهانه برابر توسط دنباله های بازگشتی بررسی شده است. در این قسمت از روش مذکور برای تحلیل قاب های یک طبقه با دهانه های برابر استفاده شده است. قبل از شروع بحث، روابط دو تیر (شکل های ۸ و ۹) که در این بحث کاربرد دارد، بیان شده است.

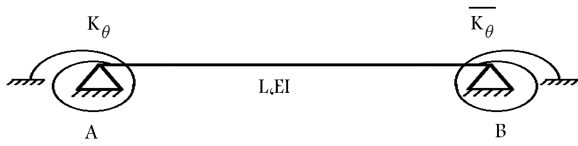
-- تیر اول: با استفاده از معادلات سازگاری برای تیر اول در شکل ۸، روابط ۴۶ به دست آمده است:

$$\begin{aligned} \theta_A &= \frac{M}{K_\theta + \frac{\tau EI}{L}} \\ \theta_B &= \frac{1}{2} \theta_A = \frac{M}{2(K_\theta + \frac{\tau EI}{L})} \end{aligned} \quad (46)$$

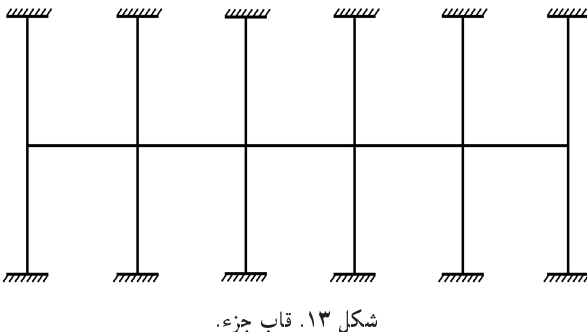
-- تیر دوم: با استفاده از معادلات سازگاری برای تیر دوم در شکل ۹، روابط ۴۷ به دست آمده است:

$$\theta_A = \frac{M}{2(K_\theta + \frac{\tau EI}{L})}, \quad \theta_B = \frac{K_\theta + \frac{\tau EI}{L}}{K_\theta + \frac{\tau EI}{L}} \times \frac{ML}{4EI} \quad (47)$$

نتایج به دست آمده از تحلیل های آزمایشی متعدد نشان می دهد که برای قاب های ساختمانی که طرح هندسی بارهای وارد بر آنها به طور نامعقولی غیر مقرون نیست، اثر انتقال جانبی ناشی از بارهای قائم (ثقلی) قابل چشم بوشی کردن است (محضوصاً در مورد لنگر انتهایی تیرهای قاب). در چنین حالتی می توان لنگرهای ناشی از بارهای قائم در تیرهای قاب را با دقت کافی از تقسیم قاب اصلی به قاب های جزء به دست آورد. در این بخش برای تحلیل قاب، سختی دورانی ستون ها توسط



شکل ۱۲. تیر معادل دهانه‌ی انتهایی قاب.



شکل ۱۳. قاب جزء.

حالت دوم: قاب یک طبقه با ستون‌های انتهایی مفصلی (روابط ۵۶):

$$K_\theta = \frac{3EI}{L}, \quad X_1 = \frac{11 + \sqrt{105}}{4}, \quad X_2 = \frac{11 - \sqrt{105}}{4}, \\ S = \frac{2}{15} \quad (56)$$

حالت سوم: ستون با انتهای گیردار در بالا و پایین مطابق با شکل ۱۳ (روابط ۵۷):

$$K_\theta = \frac{8EI}{L}, \quad X_1 = 4 + \sqrt{15}, \quad X_2 = 4 - \sqrt{15}, \\ S = \frac{4}{35} \quad (57)$$

اگر سختی تیرها با ستون‌ها تقاضوت داشته باشد، فقط کافی است در محاسبه‌ی ضریب انتقال لنگر، این موضوع لحاظ شود و به جای K_θ ، سختی دورانی ستون‌ها لحاظ شود و به جای سختی دورانی ستون انتهایی نیز \bar{K}_θ در نظر گرفته شود. این تذکر لازم است که مقادیر لنگر محل‌های اتصال تیر و ستون‌ها برای یک قاب ۹ دهانه تحت اثر بارگذاری ثقلی در هر سه حالت فوق با استفاده از روابط به دست آمده محاسبه و مشاهده شده است. این نتایج انطباق بسیار خوبی با نتایج تحلیل دقیق سازه دارد.

۵. تحلیل تیرهای سراسری با دهانه‌ی برابر با استفاده از دنباله‌های بازگشتی با درنظر گرفتن تغییرشکل‌های برشی
در این قسمت برای نوشتن معادلات بازگشتی، تغییرشکل‌های برشی در محاسبات جمله‌ی عمومی دنباله‌ی بازگشتی، لحاظ شده است.
در تیر شکل ۲ با درنظر گرفتن تغییرشکل‌های برشی با استفاده از روش بار واحد، روابط ۵۸ برقرار است:

$$1 \times \theta_A = \frac{1}{EI} \int_0^L M(x) \cdot m(x) dx + \frac{f}{GA} \int_0^L V(x) \cdot v(x) dx \\ M(x) = M(1 - \frac{x}{L}) \\ m(x) = (1 - \frac{x}{L}) \quad (58)$$

$$\frac{M_{n+1}}{\gamma(K_\theta + \frac{\tau EI}{L})} = M_{n+1} \left(\frac{1}{K_\theta + \frac{\tau EI}{L}} + \frac{1}{\frac{\tau EI}{L}} \times \frac{K_\theta + \frac{\tau EI}{L}}{K_\theta + \frac{\tau EI}{L}} \right) \\ - \frac{M_n}{\gamma(K_\theta + \frac{\tau EI}{L})} = M_{n+1} \left(\frac{1}{K_\theta + \frac{\tau EI}{L}} \right. \\ \left. \left(1 + \frac{K_\theta + \frac{\tau EI}{L}}{\frac{\tau EI}{L}} \right) \right) - \frac{M_n}{\gamma(K_\theta + \frac{\tau EI}{L})}$$

$$M_{n+1} = \gamma \left(\frac{K_\theta + \frac{\tau EI}{L}}{\frac{\tau EI}{L}} \right) M_{n+1} - M_n \\ \Rightarrow M_{n+1} = \left(1 + \frac{K_\theta}{\frac{\tau EI}{L}} \right) M_{n+1} - M_n \quad (49)$$

سپس معادله‌ی مشخصه این رابطه‌ی بازگشتی مشخص شده است (روابط ۵۰):

$$X^1 = \left(1 + \frac{K_\theta}{\frac{\tau EI}{L}} \right) X_1 - 1 \\ \Rightarrow X = \frac{\left(1 + \frac{K_\theta}{\frac{\tau EI}{L}} \right) \pm \sqrt{\left(1 + \frac{K_\theta}{\frac{\tau EI}{L}} \right)^2 - 1}}{\gamma} \\ X = \left(1 + \frac{K_\theta}{\frac{\tau EI}{L}} \right) \pm \sqrt{\left(\frac{K_\theta}{16(\frac{\tau EI}{L})^2} + \frac{K_\theta}{\frac{\tau EI}{L}} + 1 \right)} \quad (50)$$

سپس با داشتن معادله‌ی مشخصه، به کمک دو شرط اولیه‌ی ذکر شده، جمله‌ی عمومی دنباله‌ی بازگشتی محاسبه شده است:

$$|M_n| = F_1 X_1^n + F_2 X_2^n \quad (51)$$

شرط اولیه: $|M_1| = M$

برای نوشتن شرط دوم، ستون انتهایی با یک فنر پیچشی مطابق شکل ۱۲ معادل شده و از ضریب انتقال لنگر تیر معادل به عنوان شرط ثانویه استفاده شده است:

$$C.O.F. = \frac{\frac{\tau EI}{L} \bar{K}_\theta}{\bar{K}_\theta (K_\theta + \frac{\tau EI}{L}) + \frac{\tau EI}{L} (K_\theta + \frac{\tau EI}{L})} \quad (52)$$

اگر ضریب انتقال لنگر (C.O.F.)، نامیده شود (رابطه‌ی ۵۳):

$$C.O.F. = S = \frac{F_1 X_1^K + F_2 X_2^K}{F_1 X_1^{K-1} + F_2 X_2^{K-1}} \\ \Rightarrow F_1 X_1^{K-1} (X_1 - S) = F_2 X_2^{K-1} (S - X_2) \\ \Rightarrow \frac{F_1}{F_2} = \left(\frac{X_1}{X_2} \right)^{K-1} \left(\frac{X_1 - S}{S - X_2} \right) \quad (53)$$

شرط ثانویه: $M = F_1 X_1 + F_2 X_2$
از ترکیب شروط اولیه و ثانویه، معادله‌ی ۵۴ نتیجه شده است:

$$|M_n| = \frac{X_1^n + \left(\frac{X_1}{X_2} \right)^{K-1} \left(\frac{X_1 - S}{S - X_2} \right) X_2^n}{X_1 + \left(\frac{X_1}{X_2} \right)^{K-1} \left(\frac{X_1 - S}{S - X_2} \right)} \quad (54)$$

برای بررسی مستعلمه، سه حالت در نظر گرفته شده است:

حالت اول: قاب یک طبقه با ستون‌های انتهایی گیردار (روابط ۵۵):

$$K_\theta = \frac{4EI}{L}, \quad X_1 = (3 + 2\sqrt{2}), \quad X_2 = (3 - 2\sqrt{2}), \\ S = \frac{2}{15} \quad (55)$$

جدول ۶. نتایج به دست آمده برای یک تیر ۹ دهانه با استفاده از دنباله های بازگشتی با درنظر گرفتن تغییر شکل های برشی.

M	M_1
$-0.2659962859 M$	M_1
$-0.07075402359 M$	M_2
$-0.1882030531 M$	M_3
$-0.06123067 \times 10^{-3} M$	M_4
$1.3315791132 \times 10^{-3} M$	M_5
$-3.540785202 \times 10^{-4} M$	M_6
$9.374528096 \times 10^{-5} M$	M_7
$-2.328816517 \times 10^{-5} M$	M_8
...	M_{10}

جدول ۷. درصد خطاهای نسبی با درنظر گرفتن اثر تغییر شکل های برشی.

$\%$	M_6	$\%$	M_1
$\%$	M_7	$\% / 0.24$	M_2
$\%$	M_8	$\% / 0.5$	M_3
$\%$	M_9	$\% / 0.74$	M_4
$\%$	M_{10}	$\% / 1$	M_5

مطابق جدول ۷، خطای روش مذکور با لحاظ کردن تغییر شکل های برشی بسیار ناچیز است. اگر مانند قبیل از یک روش تقریبی با دقت خیلی خوب برای محاسبات استفاده کنیم، این نتایج حاصل خواهد شد (روابط ۶۲):

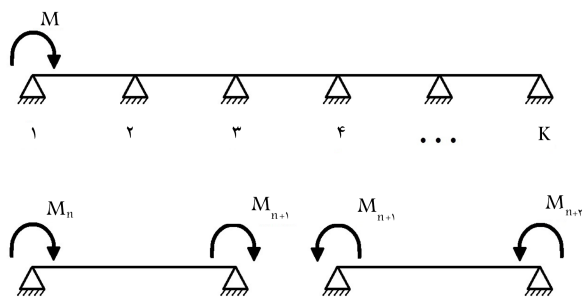
$$|M_n| = \begin{cases} 1 < n < K-2 & (X_1)^{n-1} \\ n = K-2 & (1 - (X_1)^r)(X_1)^{n-1} \\ n = K-1 & (1 - (X_1)^r)(X_1)^{n-1} \\ n = K & \end{cases} \quad (62)$$

محاسبات ارائه شده برای سایر شرایط تکیه کاری انتهایی نیز قابل انجام است، که در اینجا برای جلوگیری از اطاله ای کلام از آن چشم پوشی شده است.

۶. نتیجه گیری

برخی از نتایج مهم این پژوهش عبارت اند از:

- پیشینه‌ی سختی دورانی تیرهای سراسری چنددهانه با دهانه‌های برابر L و صلیبت خمشی EI ، که انتهای مفصلی و یا گیردار غلتکی دارند، برابر $\frac{EI}{L}$ است.
- کمینه‌ی سختی دورانی تیرهای سراسری چنددهانه با دهانه‌های برابر L و صلیبت خمشی EI ، که انتهای گیردار دارند، برابر $\frac{EI}{\sqrt{r}}$ است.



شکل ۱۴. تیر سراسری تحت خمش و برش.

می‌گویند، برای مقاطع ای شکل با دقت خیلی خوبی برابر $\frac{A}{A_w}$ است،^[۶] و در نتیجه روابط ۵۹ ارائه شده است:

$$\theta_A = \frac{ML}{3EI} + \frac{Mf}{GAL}, \quad \theta_B = \frac{ML}{6EI} - \frac{Mf}{GAL} \quad (59)$$

اگر $\frac{EIf}{GAL^r}$ برابر g در نظر گرفته شود، روابط ۶۰ را خواهیم داشت:

$$\theta_A = \frac{ML}{3EI(\frac{r}{r+g})}, \quad \theta_B = \frac{ML}{6EI(\frac{r}{1-g})} \quad (60)$$

مطابق شکل ۱۴، در تیر سراسری با دهانه‌های برابر مورد بحث روابط ۶۱ برقرار است:

$$\begin{aligned} (\theta_{n+1})_L &= (\theta_{n+1})_R \\ &\Rightarrow \frac{M_n}{\frac{\tau EI}{L}(\frac{r}{1-g})} - \frac{M_{n+1}}{\frac{\tau EI}{L}(\frac{r}{r+g})} \\ &= \frac{M_{n+1}}{\frac{\tau EI}{L}(\frac{r}{r+g})} - \frac{M_{n+1}}{\frac{\tau EI}{L}(\frac{r}{1-g})} \\ &\Rightarrow \frac{2 \times M_{n+1}}{\frac{\tau EI}{L}(\frac{r}{r+g})} - \frac{M_n}{\frac{\tau EI}{L}(\frac{r}{1-g})} = \frac{M_{n+1}}{\frac{\tau EI}{L}(\frac{r}{1-g})} \\ &\Rightarrow 2(2+g)M_{n+1} - (1-g)M_n = (1-g)M_{n+1} \\ &\Rightarrow (1-g)X^r - 2(2+g)X + (1-g) \\ &\Rightarrow X = \frac{2(2+g) \pm \sqrt{4(2+g)^r - 4(1-g)^r}}{2(1-g)} \\ &\Rightarrow X = \frac{(2+g) \pm \sqrt{6g+3}}{(1-g)} \\ &\Rightarrow |M_n| = \frac{\left[- \left[\frac{X_1}{X_r} \right]^K (X_r)^n + (X_1)^n \right] M}{\left[(X_1) - (X_r) \left[\frac{X_1}{X_r} \right]^K \right]} \\ M_n &= (-1)^{n+1} \frac{\left[- \left[\frac{X_1}{X_r} \right]^K (X_r)^n + (X_1)^n \right] M}{\left[(X_1) - (X_r) \left[\frac{X_1}{X_r} \right]^K \right]} \end{aligned} \quad (61)$$

با درنظر گرفتن اثر تغییر شکل های برشی، لنگرهای محاسبه شده از روابط فوق در جدول ۶ ارائه شده است. در جدول ۷، درصد خطاهای نسبی نتایج به دست آمده توسط دنباله های بازگشتی با درنظرداشتن تغییر شکل های برشی نسبت به نتایج جدول ۲، که توسط نرم افزار SAP ۲۰۰۰ محاسبه شده است، ارائه شده است.

- با استفاده از روش دنباله های بازگشتی می توان یک قاب تحت اثر بارگذاری ثقلی را با فرض عدم تغییر مکان جانی و با جایگزینی فنر پیچشی به جای ستون ها در محل اتصال تیر و ستون ها تحلیل کرد.
- همچنین این روش برای تحلیل قاب جزء، که در تحلیل دستی قاب ها تحت بار ثقلی کاربردی است، قابل استفاده است.
- در یک تیر سراسری چنددهانه با دهانه های برابر تحت اثر لنگر خمشی متمرکز در ابتدای تیر، مقادیر لنگر محل تکیه گاه ها از یک دنباله بازگشتی تعیت می کند، که می توان با دقت خوبی آن را با یک سری هندسی تقریب زد و نکته ای جالب این است که تأثیر نوع تکیه گاه انتهایی فقط در چند دهانه آخر تیر معلوم می شود.

Archive of SID

منابع (References)

1. Pasha, E., et al., Mathematics culture, First Edition, Publication of madrese, p.479, (in Persain) (2000).
2. Ralph P. Grimaldi., Discrete and Combinatorial Mathematics on Applied Introduction, 2nd Edition, Addison-Wesley publishing company (in persain) (1989).
3. Hibbeler, R.C., *Structural Analysis*, 8th Edition, Prentice Hall, p. 3 (2012).
4. Hsieh, Y.-Y., *Elementary Theory of Structures*, 2nd Edition, Prentice Hall (1995).
5. J.M. Gere., Moment Distribution, D. Van Nostrand, Inc, (in Persain) (1963),